

Zeitschrift: Bericht der Eidgenössischen Kommission zur Überwachung der Radioaktivität
Herausgeber: Eidgenössische Kommission zur Überwachung der Radioaktivität
Band: 18 (1974)
Anhang: [Abbildungen = Images]

Nutzungsbedingungen

Die ETH-Bibliothek ist die Anbieterin der digitalisierten Zeitschriften. Sie besitzt keine Urheberrechte an den Zeitschriften und ist nicht verantwortlich für deren Inhalte. Die Rechte liegen in der Regel bei den Herausgebern beziehungsweise den externen Rechteinhabern. [Siehe Rechtliche Hinweise.](#)

Conditions d'utilisation

L'ETH Library est le fournisseur des revues numérisées. Elle ne détient aucun droit d'auteur sur les revues et n'est pas responsable de leur contenu. En règle générale, les droits sont détenus par les éditeurs ou les détenteurs de droits externes. [Voir Informations légales.](#)

Terms of use

The ETH Library is the provider of the digitised journals. It does not own any copyrights to the journals and is not responsible for their content. The rights usually lie with the publishers or the external rights holders. [See Legal notice.](#)

Download PDF: 02.04.2025

ETH-Bibliothek Zürich, E-Periodica, <https://www.e-periodica.ch>

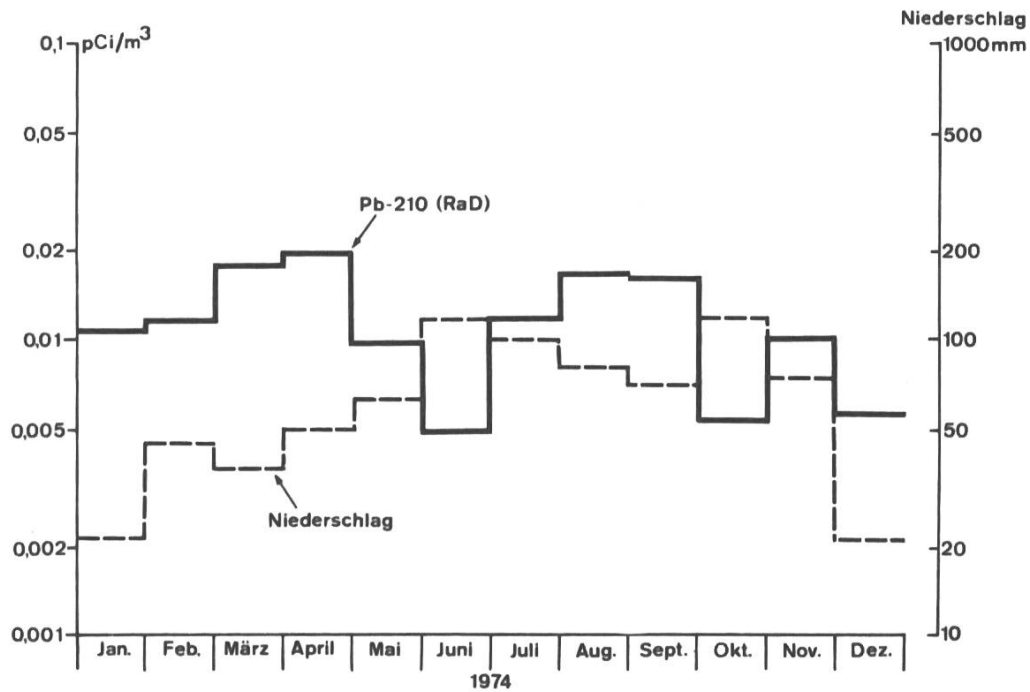


Fig. 2a. Natürliche Radioaktivität. Pb-210 (Halbwertszeit 21 Jahre) in der Bodenluft von Freiburg (CBE); gestrichelt monatliche Niederschlagsmengen

Radioactivité naturelle. Pb-210 (période 21 ans) dans l'air à Fribourg (CBE); en trait discontinu, quantités de précipitations mensuelles

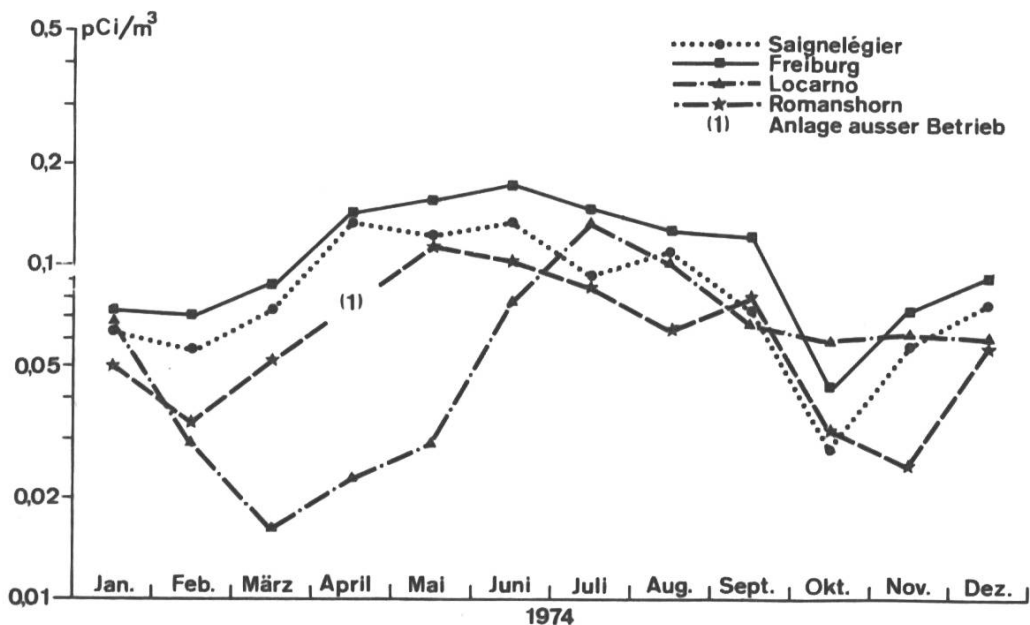
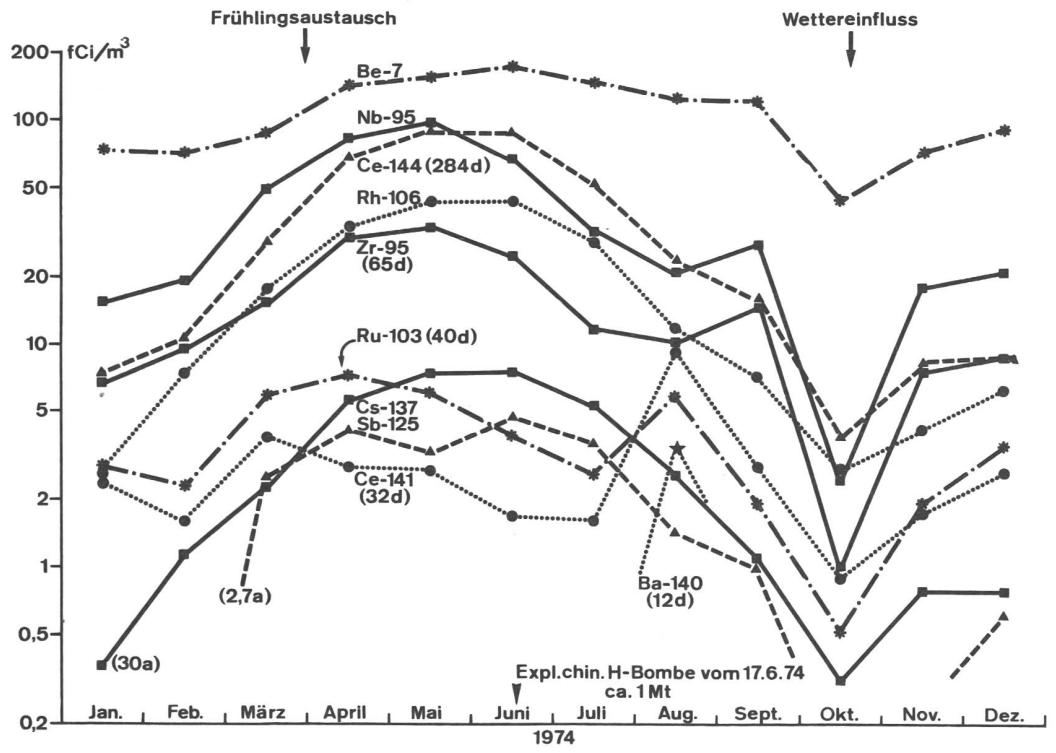


Fig. 2b. Natürliche Radioaktivität. Be-7 (Halbwertszeit 53 Tage) in der Bodenluft (FR)

Radioactivité naturelle. Be-7 (période 53 jours) dans l'air (FR)

Fig. 3. Spaltprodukte und Be-7 in der Bodenluft von Freiburg (FR)
 Angaben in fCi/m³ (1000 fCi = 1 pCi)
 Produits de fission et Be-7 dans l'air à Freiburg (FR)
 Unité: fCi/m³ (1000 fCi = 1 pCi)



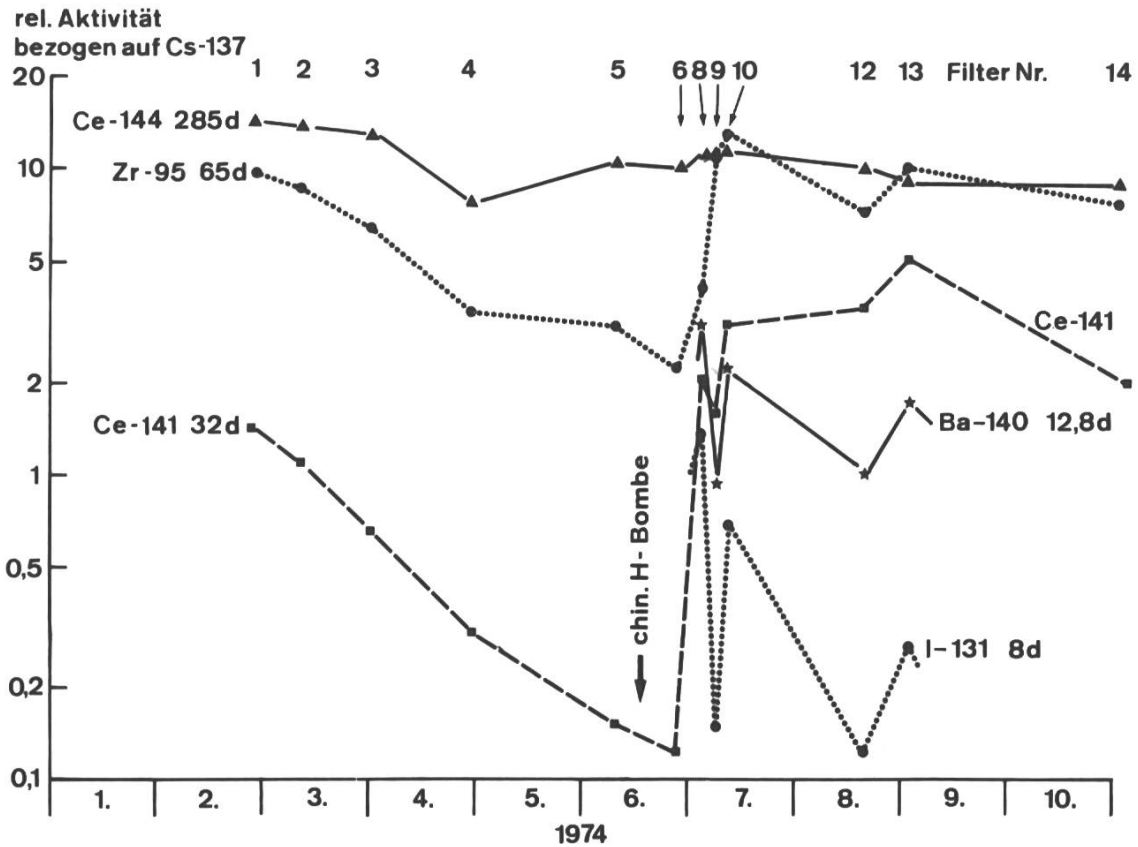


Fig. 4. Relative Aktivitäten, bezogen auf Cs-137, einiger Spaltprodukte in der Höhenluft zwischen 8000 und 14000 m (FR)
 Activités relatives, rapportées au Cs-137, de produits de fission dans l'air entre 8000 et 14000 m d'altitude (FR)

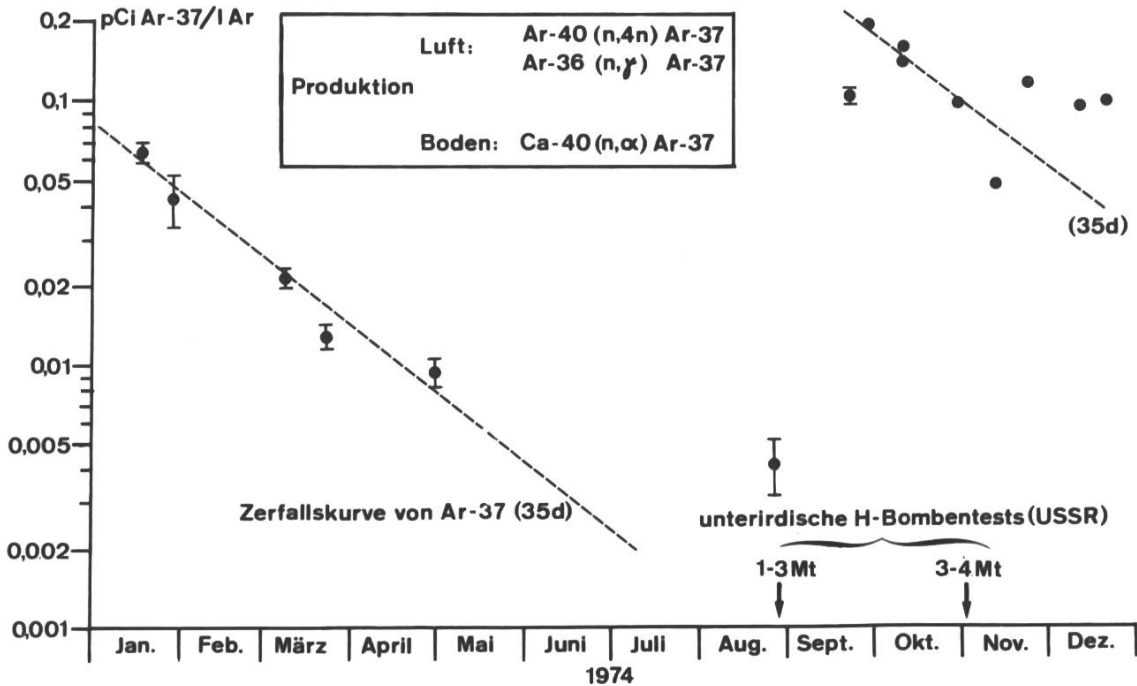


Fig. 5. Ar-37 in der Luft von Bern (BE)
 Ar-37 dans l'air à Berne (BE)

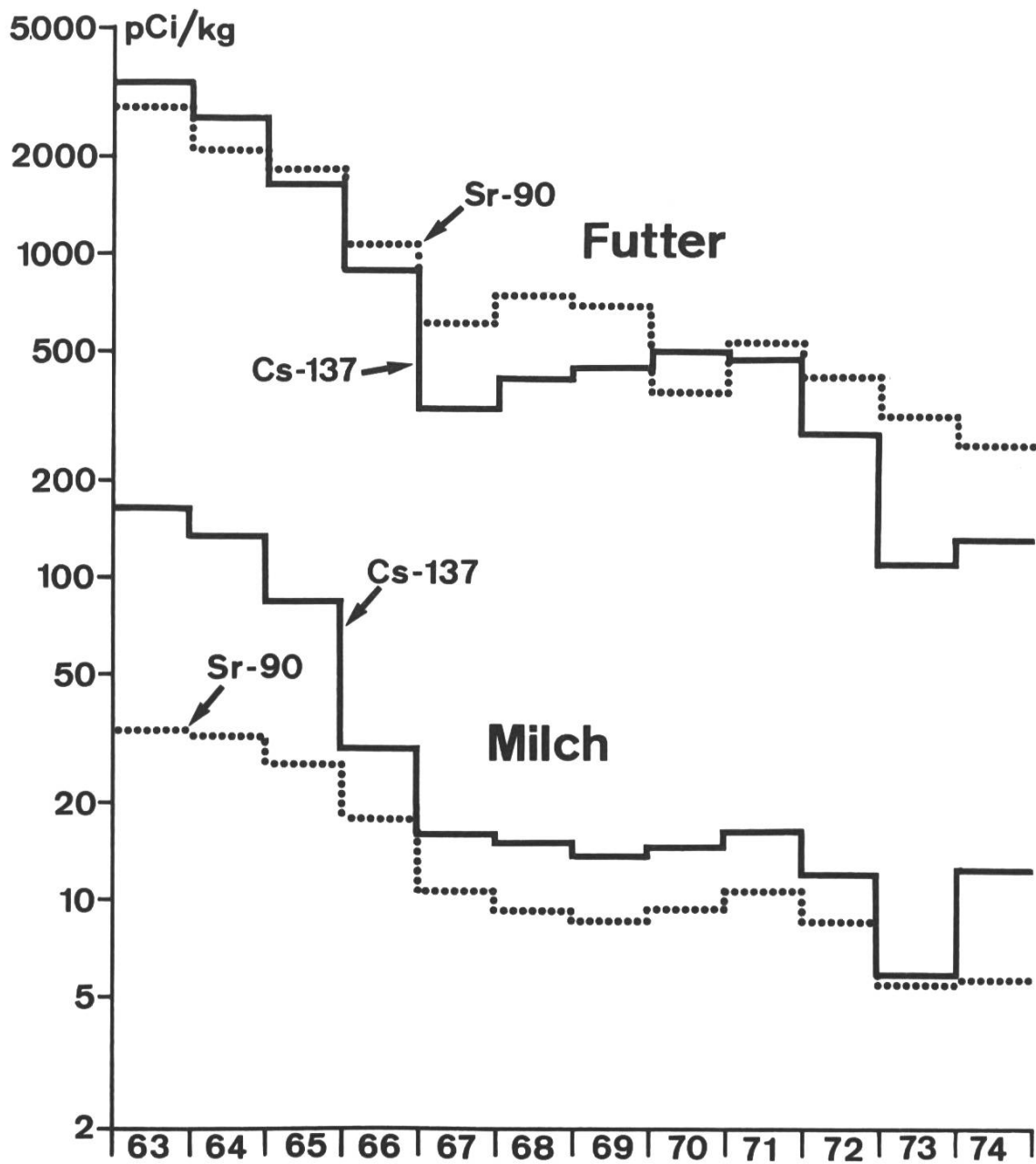


Fig. 6. Cs-137 und Sr-90 in Futter und Milch aus der Ostschweiz, 1963 - 74 (FR; EAWAG). Höchstzulässige Konzentration in Milch bei Einnahme von 0,5 l/Tag: Sr-90 340 pCi/l, Cs-137 30000 pCi/l

Cs-137 et Sr-90 dans du fourrage et du lait provenant de la Suisse orientale, 1963 - 74 (FR; EAWAG). Concentration maxima admissible dans le lait pour une consommation de 0,5 l/jour: 340 pCi/l de Sr-90, 30000 pCi/l de Cs-137

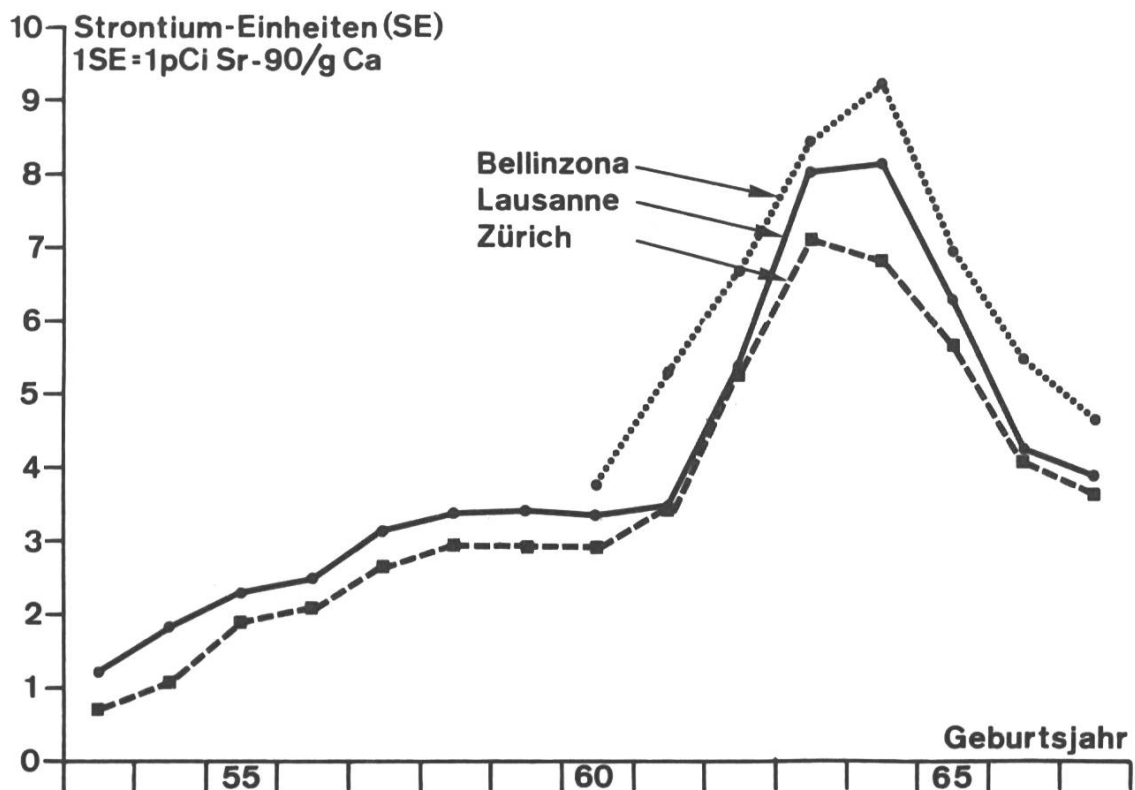


Fig. 7. Sr-90-Aktivität in Milchzähnen, Mittelwerte der Sammlungen 1966 - 1974 (EPFL)

Activité du Sr-90 dans les dents de lait, moyennes des collections 1966 - 1974 (EPFL)

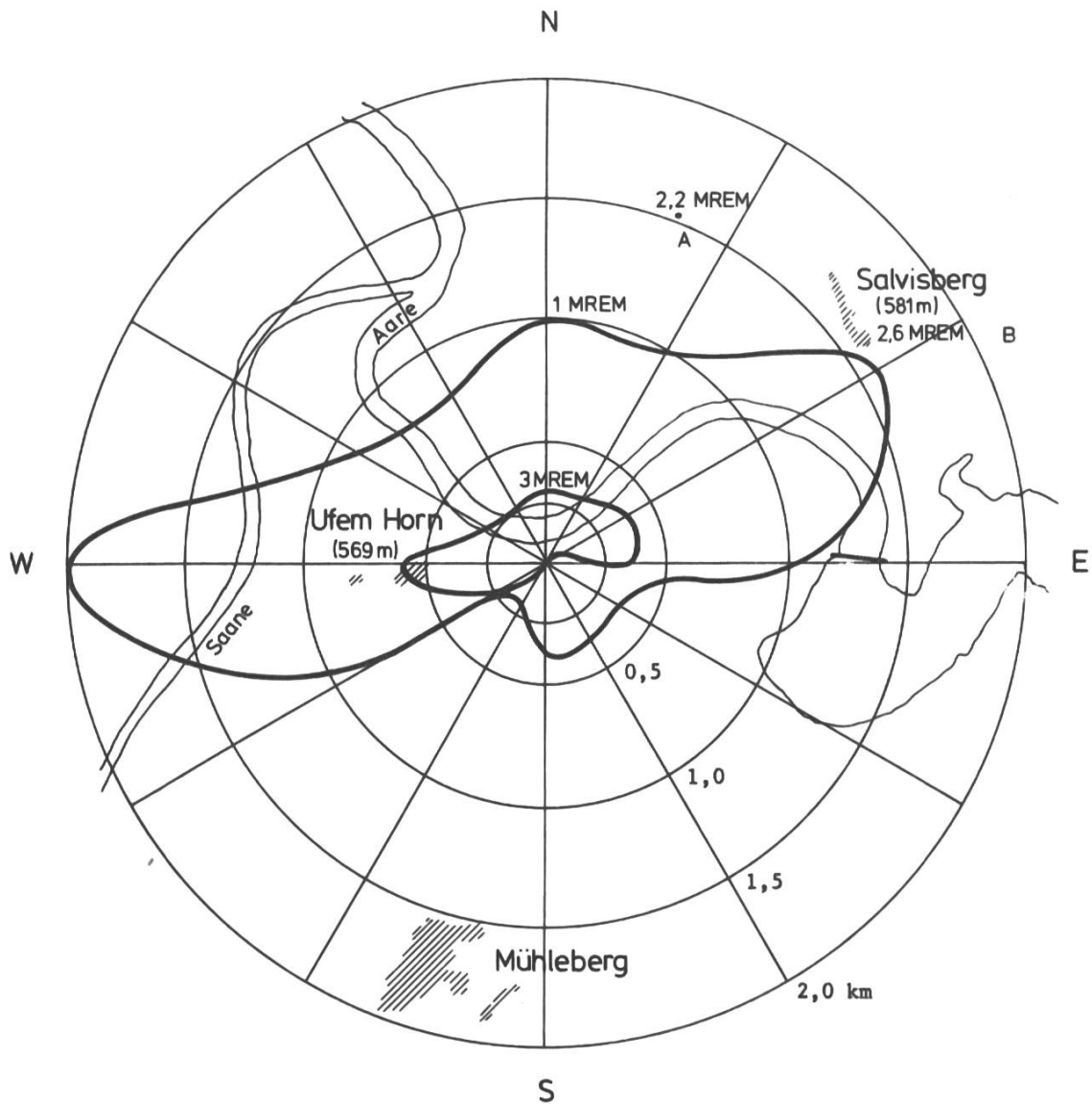


Fig. 8. Berechnete Isoplethen der jährlichen externen Gesamtkörperbestrahlung in Bodennähe durch die Abluftfahne des Kernkraftwerks Mühleberg (kontinuierliche Emission auf einer Höhe vom 180 m über einer Ebene angenommen) Für die Punkte A (Oberer Bannhubel: 2,2 mrem) und B (Salvisberg: 2,6 mrem) wurde die Höhenlage berücksichtigt (ASK)

Courbes calculées d'égales doses annuelles externes au corps entier près du sol dues au panache d'effluents gazeux de la centrale nucléaire de Mühleberg (on admet comme hypothèse une émission continue à une hauteur de 180 m au-dessus d'une surface plane). Pour les points A (Ob. Bannhubel: 2,2 mrem) et B (Salvisberg: 2,6 mrem), on a tenu compte de l'altitude (ASK)

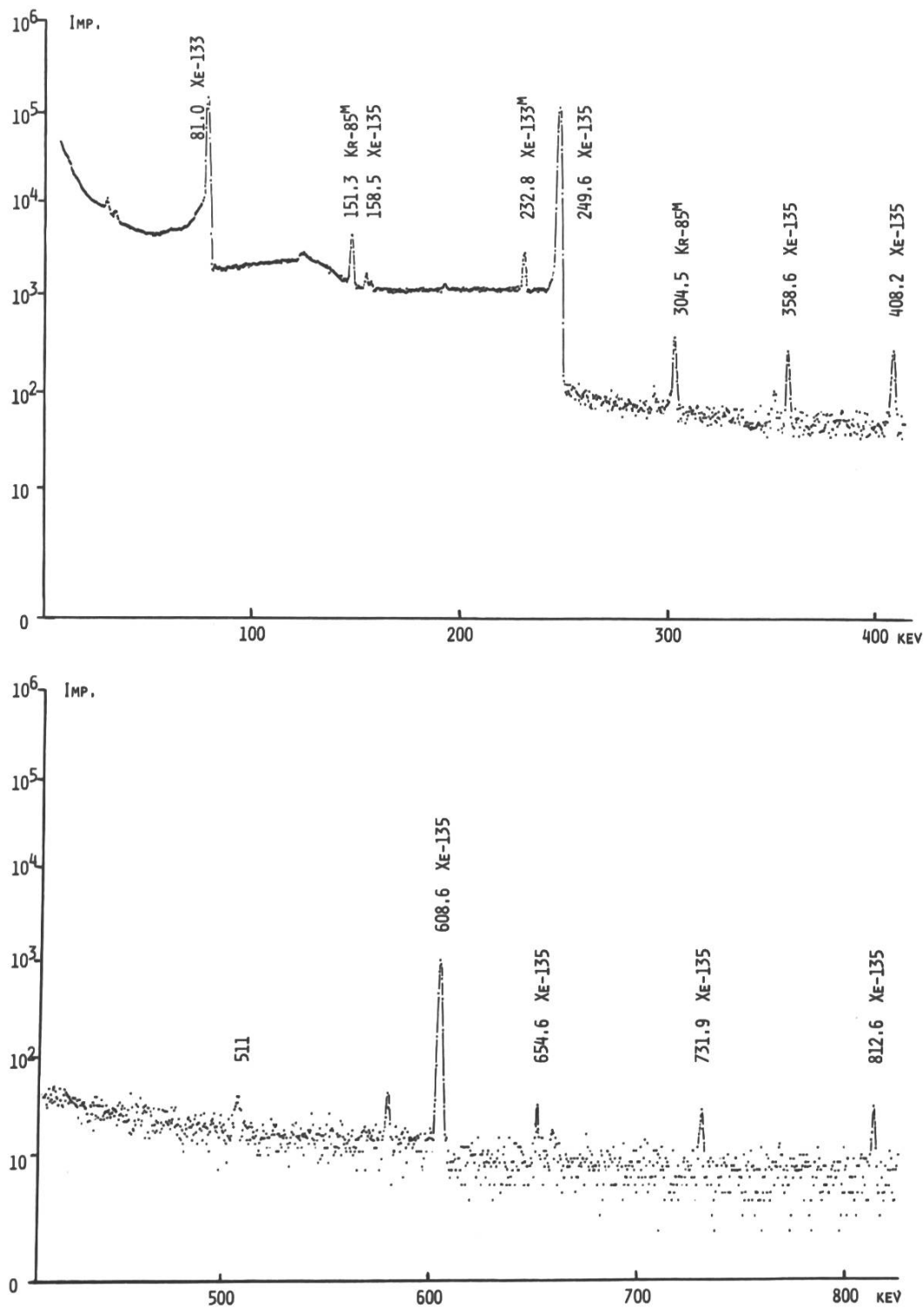


Fig. 9. Gammaspektrum einer Abgasprobe aus dem Kernkraftwerk Mühleberg, 23.11.74 (FR)

Spectre gamma d'un échantillon de déchet gazeux provenant de la centrale nucléaire de Mühleberg, 23.11.74 (FR)

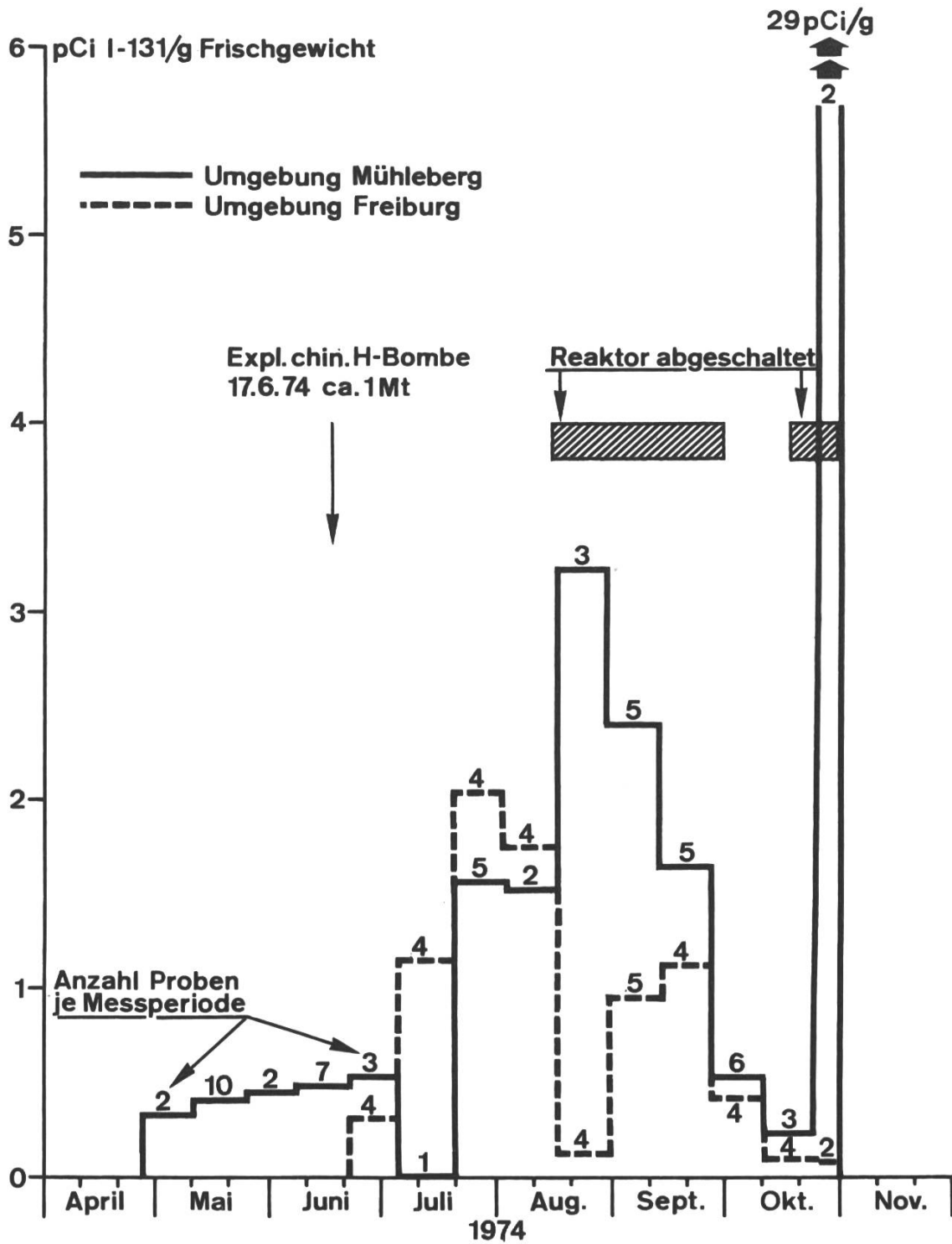


Fig. 10. I-131 in Schilddrüsen von geschlachteten Kühen aus den Gegenden Freiburg und Kernkraftwerk Mühleberg. Messwerte über je zwei Wochen gemittelt (FR)

I-131 dans des thyroïdes de vaches abattues des environs de Fribourg et de la centrale nucléaire de Mühleberg. Moyennes sur deux semaines (FR)

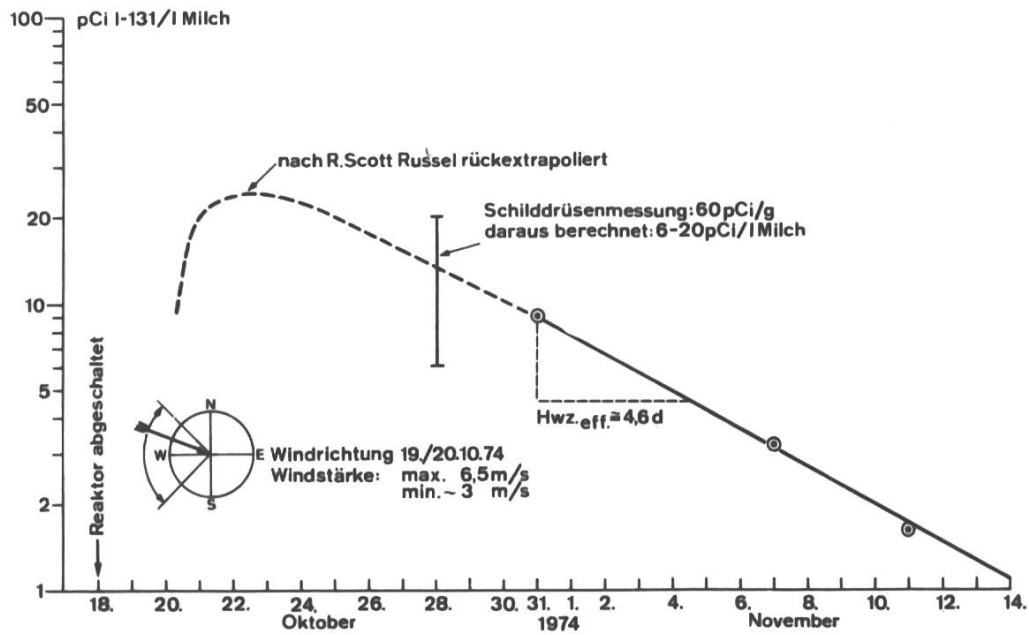


Fig. 11a. I-131 in Milch aus Salvisberg, 1500 m NO des Kernkraftwerks Mühleberg, nach Abschalten des Reaktors (FR)

I-131 dans du lait de Salvisberg, 1500 m NE de la centrale nucléaire de Mühleberg, après l'arrêt du réacteur (FR)

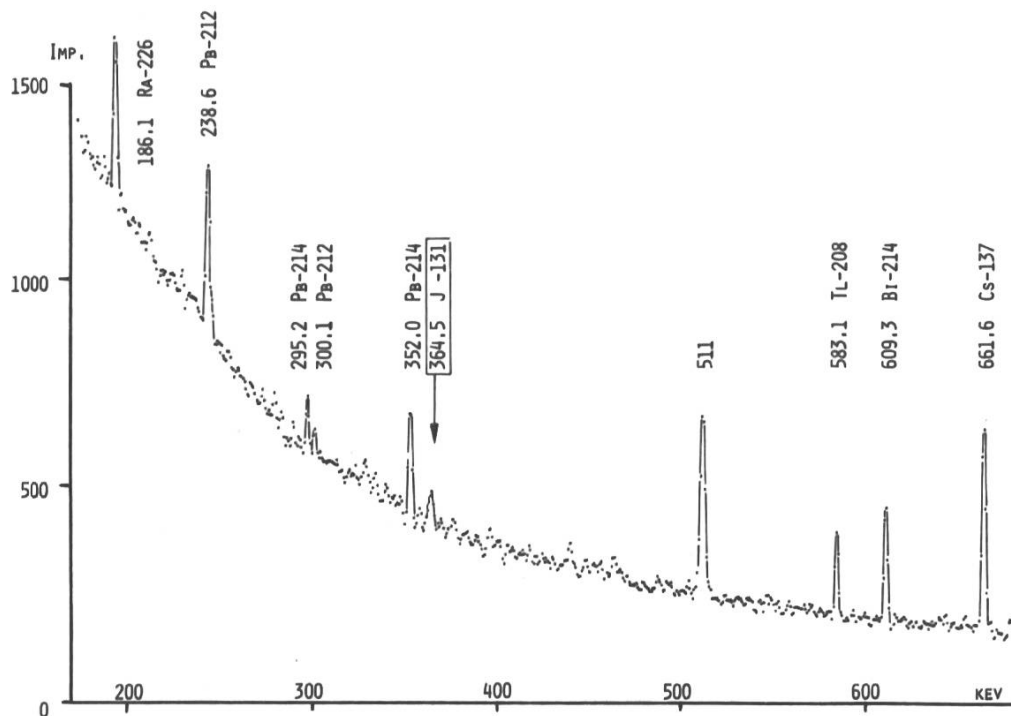


Fig. 11b. Gammaskpektrum von 600 g Trockenmilch aus Salvisberg vom 7.11.74, gemessen 13.-15.11.74 während 200000 Sekunden (FR)

Spectre gamma de 600 g de lait en poudre prélevé à Salvisberg le 7.11.74, mesuré du 13 au 15.11.74 pendant 200000 secondes (FR)

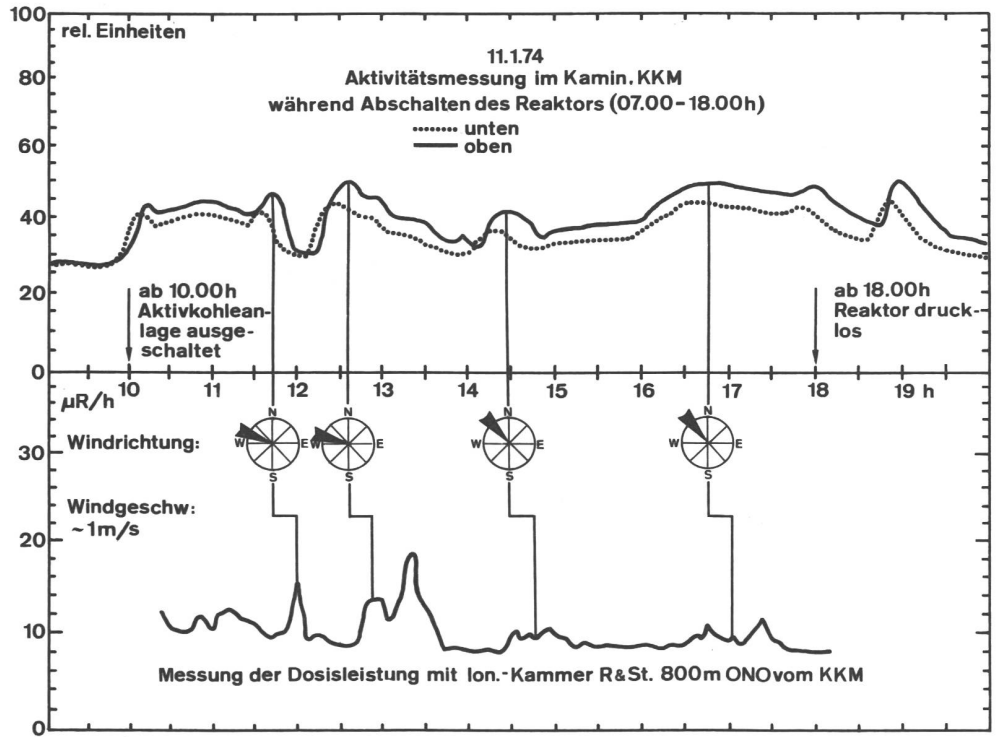


Fig. 12. Registrierungen beim Kernkraftwerk Mühlberg während Abschalten des Reaktors am 11.1.74. Oben Aktivität der Abluft im Kamin (KKM). Unten: Dosisleistung 800 m ONO der Anlage (FR)

Enregistrements à la centrale nucléaire de Mühlberg au moment de l'arrêt du réacteur, le 11.1.74. En haut: activité des effluents gazeux dans la cheminée (CN Mühlberg). En bas: débit de dose à 800 m ENE de l'installation (FR)

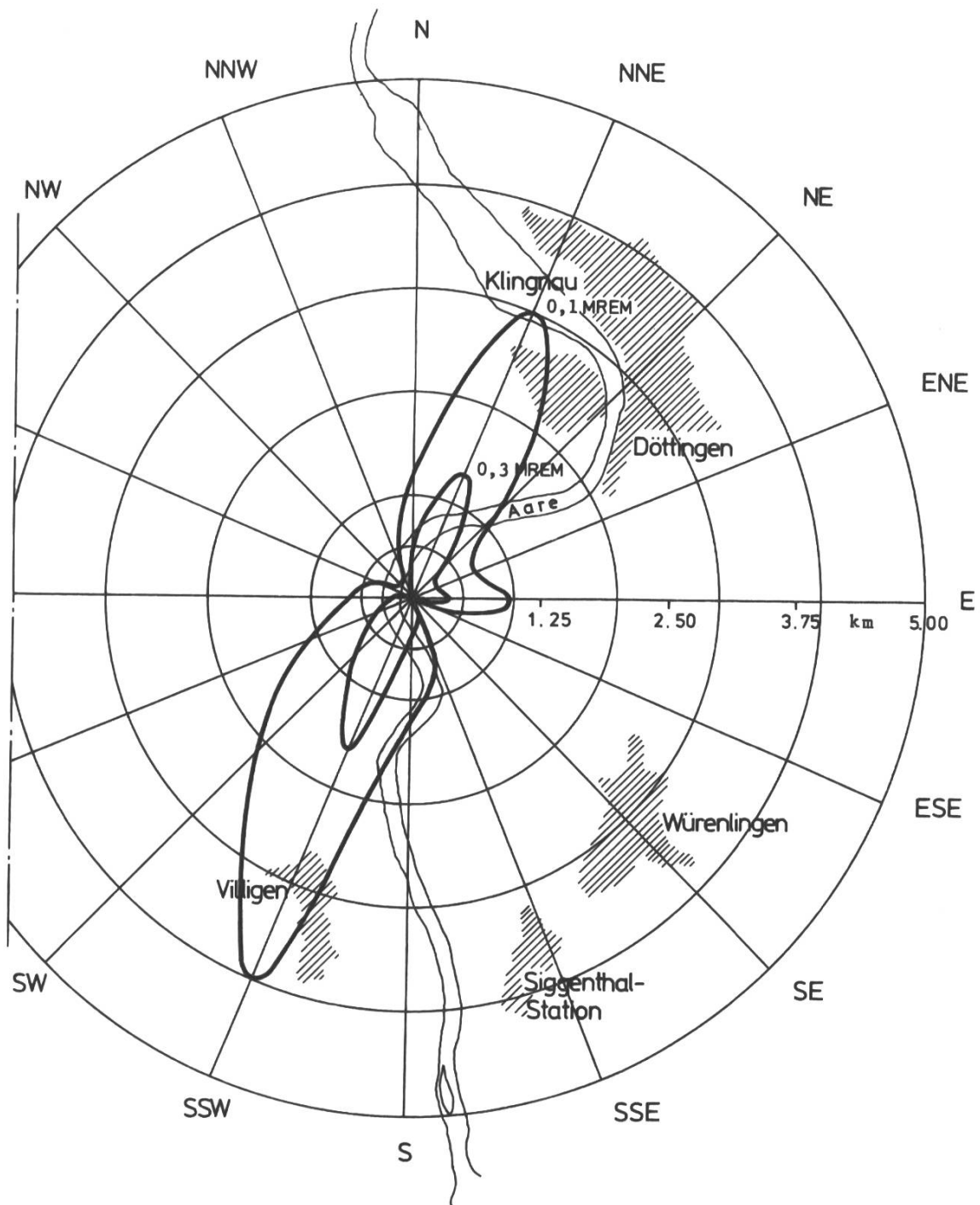


Fig. 13. Berechnete Isoplethen der jährlichen externen Gesamtkörperbestrahlung in Bodennähe durch die Abluftfahne der Kernkraftwerke Beznau I und II (kontinuierliche Emission auf einer Höhe vom 30 m über einer Ebene angenommen) (ASK)

Courbes calculées d'égales doses annuelles externes au corps entier près du sol dues au panache d'effluents gazeux des centrales nucléaires Beznau I et II (on admet comme hypothèse une émission continue à une hauteur de 30 m au-dessus d'une surface plane) (ASK)

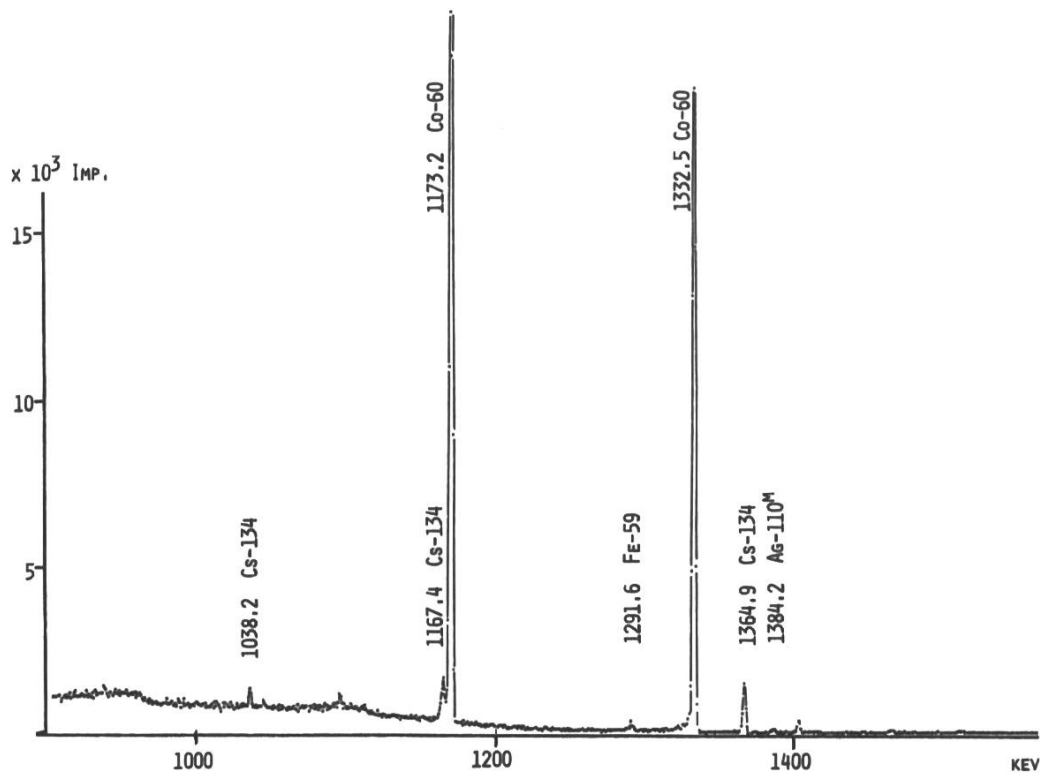
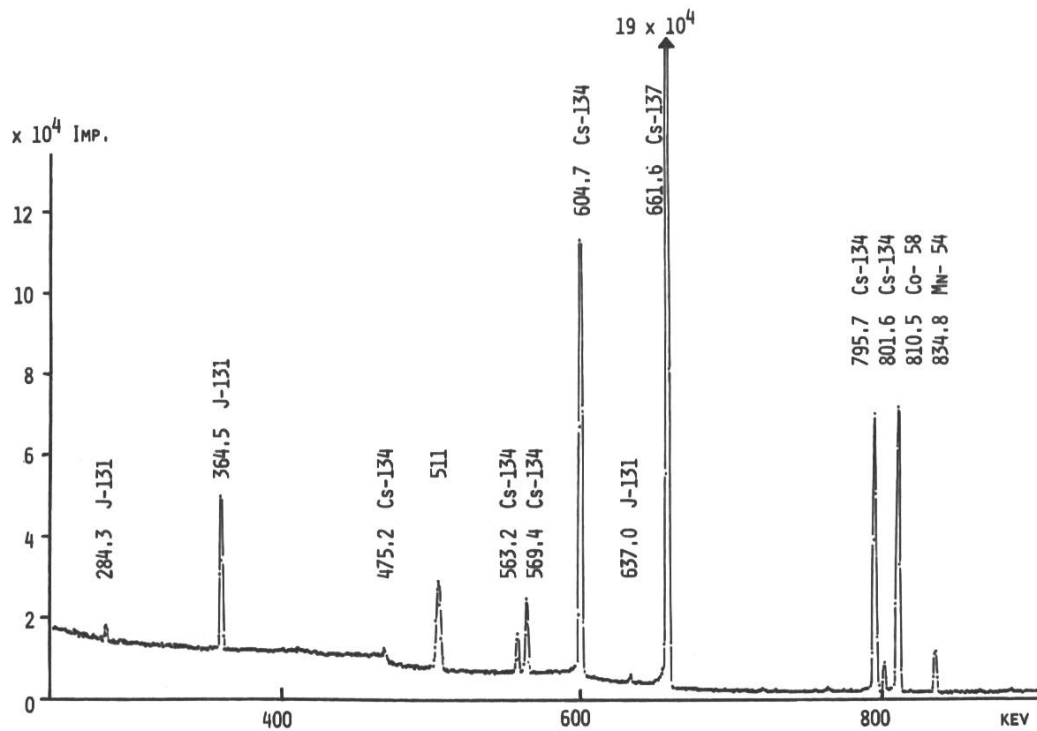


Fig. 14. Gammasktrum einer Probe aus einem Regenerierwassertank des Kernkraftwerks Beznau II, 10.12.74 (FR)

Spectre gamma d'un échantillon provenant d'un tank d'eau à régénérer de la centrale nucléaire Beznau II, 10.12.74 (FR)

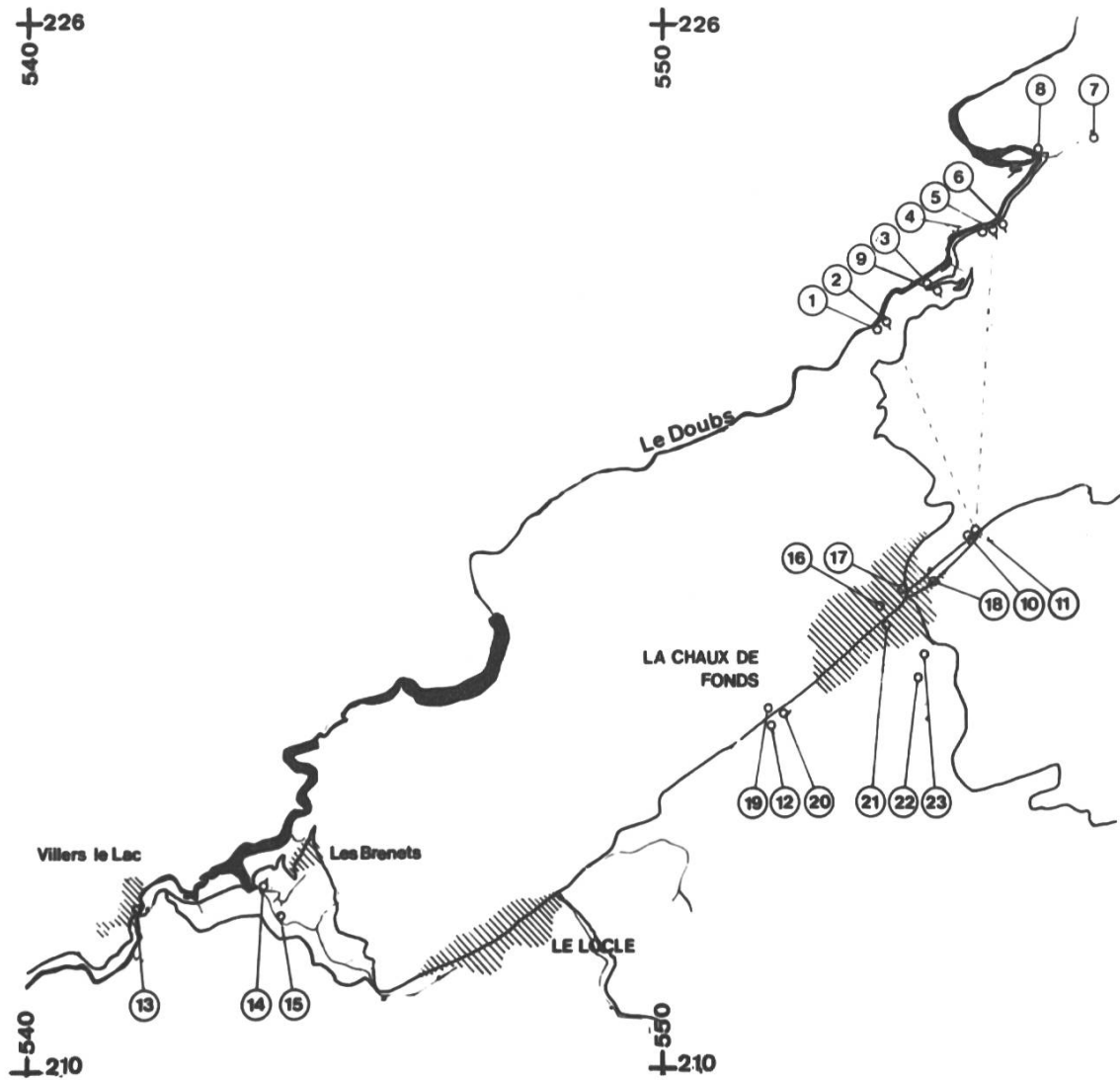


Fig. 15. Probeentnahmestellen für Tritiummessungen in Wasser im Raum La Chaux-de-Fonds, vgl. Tab. 8 (SUVA)

Points de prélèvement d'échantillons pour les mesures de tritium dans l'eau dans la région de La Chaux-de-Fonds, cf. tabl. 8 (SUVA)

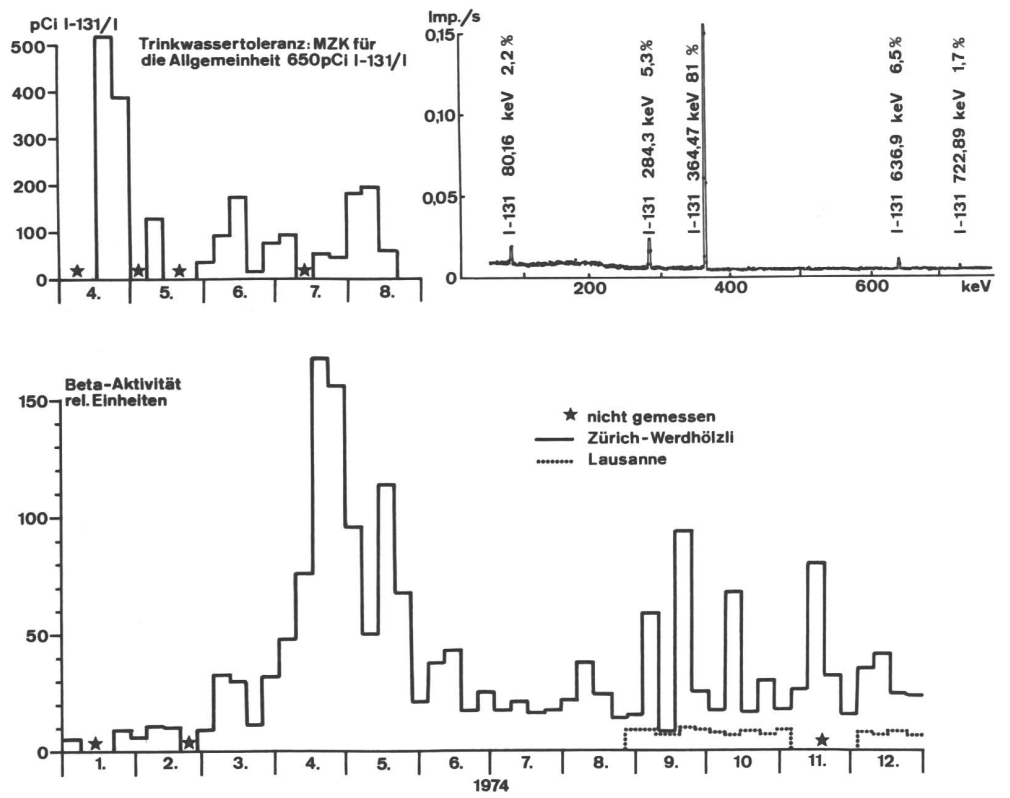


Fig. 16. Aktivität am Ausfluss von Abwasserreinigungsanlagen.
 Oben links: I-131-Aktivität in der ARA Werdhölzli-Zürich (FR). Oben rechts: Gammapektrum einer Abwasserprobe, Werdhölzli, 23.-30.4.74 (FR). Unten: Totale Betaaktivität (EAWAG)
 Aktivité à la sortie de stations d'épuration des eaux usées. En haut à gauche: activité de I-131 à la station d'épuration Werdhölzli-Zürich (FR). En haut à droite: spectre gamma d'un échantillon d'eau usées, Werdhölzli, 23-30.4.74 (FR). En bas: activité bêta totale (EAWAG)